

N-15 コンクリートの凝結遅延とその応用

小野田セメント中央研究所

正員 ○ 土 岐 高 史

加 藤 稔

小 林 理 志

西 村 洋

1. まえがき

コンクリートの凝結は、主としてセメントの水和に基づくものであり、一般的な化学反応と同様、温度によって大きく影響され、夏期の高温時には凝結が促進され、コンクリートの施工に種々の障害を与えていたことは周知の事実である。また、最近のコンクリート施工法の進歩は、それまでの施工に適した凝結を要求するようになった。これらの点に対する対策として凝結遅延剤を用いることがすすめられている。以下、市販の遅延剤の性能および凝結遅延の応用例について報告する。

2. 市販遅延剤の性質

対象として取り上げたのは、A—リグニンスルホン酸塩、B—オキシカルボン酸塩、C—無機化合物の3種類である。コンクリートの配合は、粗骨材の最大寸法25mm、単位セメント量306kg、スラブ厚6.5±1cmとい、上記遅延剤を0.05~2%添加した、試験の結果の概略は次の通りである。

AおよびBは遅延剤と言うよりは、減水剤と考えた方がよく、遅延剤として使用する場合、標準添加量を越すときは特に注意を要する。一方、Cは減水効果は全くなく、添加量を変えることによって、ある程度、自由に凝結時間を調節することができる。次の例下述のように、同一工事において、凝結時間(%)を何段階かに変化させた場合には、この性質が大いに役立つであろう。

3. コンクリートの凝結遅延の応用

3-1 大型構造物コンクリートの施工

昭18年国際講演会オフ部門(I-9)で長浜が発表されていよう。不静定大型コンクリート構造物では、コンクリートの打設量が多いと、限られた打設能力では、その打設に長時間を要し、最初に打設したコンクリートが凝結、硬化はじめると、この部分にその後打設したコンクリートの重量により応力がかかる、ひびわれが発生する。これを防ぐために遅延剤の添加量を変えて、コンクリートの凝結を順次変え、打設の後半から凝結がはじまるようにすればよい。一例を次に示す。

3-2 コンクリートの連続打設(打ち足し)

ダムのような大型構造物のコンクリート打設の際、打設の順序によつては、次に打設するまでにか

$$Y = 1 - AX^3 - BX \quad \dots\dots (6)$$

でよくあらわすことができる。この式であらわしうる土壌につけて求めた係数 A , B を表-3 に示してある。 (6) 式を $K_1 = \frac{B}{A} \left\{ \left(1 + \frac{f_1}{d} \right)^2 / 1 - \left(\frac{f_1}{d} \right)^2 \right\}$,

$$K_2 = -\frac{1}{A} \left(1 - \frac{f_1}{d} \right) \left\{ \left(1 + \frac{f_1}{d} \right)^2 / 1 - \left(\frac{f_1}{d} \right)^2 \right\}^3$$

$$m^3 + K_1 m' + K_2 = 0 \quad \dots\dots (7)$$

となる。 f_1 , f_2 を測定し表-3 の A , B を用いて K_1 , K_2 を求めて (7) 式より m' を求めれば (3) 式から流量を求めることができる。次に厚土の薄い A 型のよろな壠では図-5 (2) に示してあるように (6) 式の式型であらわすことは無理であるので、これらについては、さらに研究を続けてゆく計画である。

表-3 A , B の値

模型	A	B	模型	A	B
A	-	-	a	-	-
B	0.025	0.020	b	1.05	-0.01
C	1.021	-0.020	c	2.02	-0.01
D	1.021	-0.020	d	2.05	-0.01
E	0.977	0.046	e	-	-
f	1.245	-0.055	f	3.157	-0.03
g	1.591	-0.020	g	4.454	-0.03
h	1.70	-0.06	h	6.677	-0.03
i	1.650	-0.065	i	2.84	-0.03
j	1.205	-0.06	j	3.14	-0.01
k	1.622	-0.018	k	4.486	-0.01
l	2.005	-0.018	l	5.015	-0.01
m	2.005	-0.018	m	-	-
n	1.016	-0.044	n	2.287	-0.02
o	1.597	-0.046	o	5.515	-0.01
p	1.72	-0.04	p	4.987	-0.01
q	1.682	-0.046	q	3.14	-0.01
r	1.65	-0.045	r	4.454	-0.01
s	1.65	-0.048	s	5.227	-0.01
t	1.710	-0.02	t	5.577	-0.01

5. 算定流量の比較 本式と本間公式および鍋岡公式⁵⁾による、A型壠に対する算定流量の比較を図-6 に示してある。本式によるものを実線、本間公式によるものを点線、鍋岡公式による流量算定を行つにあたり A型壠に完全に合致するものがなかったので、これに最も近い型として $\frac{d}{l} = 5.0$, $N_u, N_d = 0 \sim 1.0$ を選びこれに対する補正式 $A(\frac{m}{m'}) = 5.30 \cdot \frac{f_1}{d} \exp \left\{ -5.11 \left(1 - \frac{f_1}{d} \right) \right\}$ を用いた。ここに f_1 は堤頂巾である。図-6 から本式によるものがほぼ 1.0 線の附近に実在して計算値と実測値とがほぼ一致し、本間公式によるものが 0.6 $\leq \frac{f_1}{d} \leq 0.8$ 附近を除いて過小の値を示し、また鍋岡公式は全体を通じて過小の値を示してゐることがわかる。また本間公式による流量算定は、まず流量 Q を仮定して (1), (4) 式から m を求め、(5) 式より m' を求め、(3) 式から Q を求め、これが假定の仮定流量と一致するまで行う試算法であり、本法による場合は (7) 式の m' の 3 次式を解く面倒があるが計算は簡単なようである。(7) 式を試算法で解く場合、ここに用いた壠型に対する潜壠部の m' の測定値は、ほぼ 0.8 ~ 1.5 の範囲にあるので、この範囲の m' を当初仮定すれば (7) 式の計算は容易に收斂する。

6. まことに以上によつて壠厚の比較的厚いものに対して潜壠の流量算定式を実験的に導き、その検討を行つたが、これまで知りえた結果を簡単に述べると、

① 本間公式は潜壠部に対して壠厚の薄い場合では一般に過大の値を示し、壠厚の厚い場合は $0.6 \leq \frac{f_1}{d} \leq 0.8$ の附近を除いて過小の値を示す。

② 鍋岡公式に対する検討を行つことはできなかつたが、A型に対するばかりの誤差を生ずるおそれである。

③ 壺厚の厚い土壌の潜壠部については (3) 式の m' は (1) ほん (7) 式であらわされる。 (6) 式の A の値は f_1 が大きくなるほど大きくなるが、 B の値と f_1 の関係は明らかでない。

4) 図-5 の軸の変数 X に含まれる m' の値は下流側隅角の半径が大きくなるほど大きくなるようである。

壠各部の形状に対する影響を充分に考慮するには、まだ多くの種類の模型について実験をしなければならないが、これらについては更に研究を続けてゆく計画である。

参考文献 1) 上田年比古、崎山正常：潜壠の流量について；土木学会第19回国次学術講演会 講演概要 II-13

2) 上田年比古、崎山正常：潜壠の流量算定式について；九州大学工学集報 第37卷 第3号

3) 上田年比古、崎山正常：低越流壠の流量係数について；土木学会西部支部 昭和39年夏季研究発表会論文集

4) 本間 仁：低溢流壠堤の流量係数(第2編)；土木学会誌 Vol. 26 No. 9 昭和 15. 9

5) 鍋岡昭三：低・ダム・溢流水流に關する研究；電研報告(土木5301) 昭和 28. 10

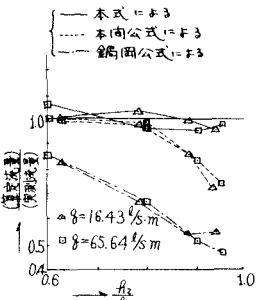


図-6 算定流量の比較